



Université Frères Mentouri Constantine1 Faculté des Sciences Exactes Département de physique

Conception et application d'un code de calcul numérique pour la résolution des problèmes d'écoulements de nanofluides

Présentée par: Chaiel Ismahen Dirige par: Pr Ms Boufendi Toufik



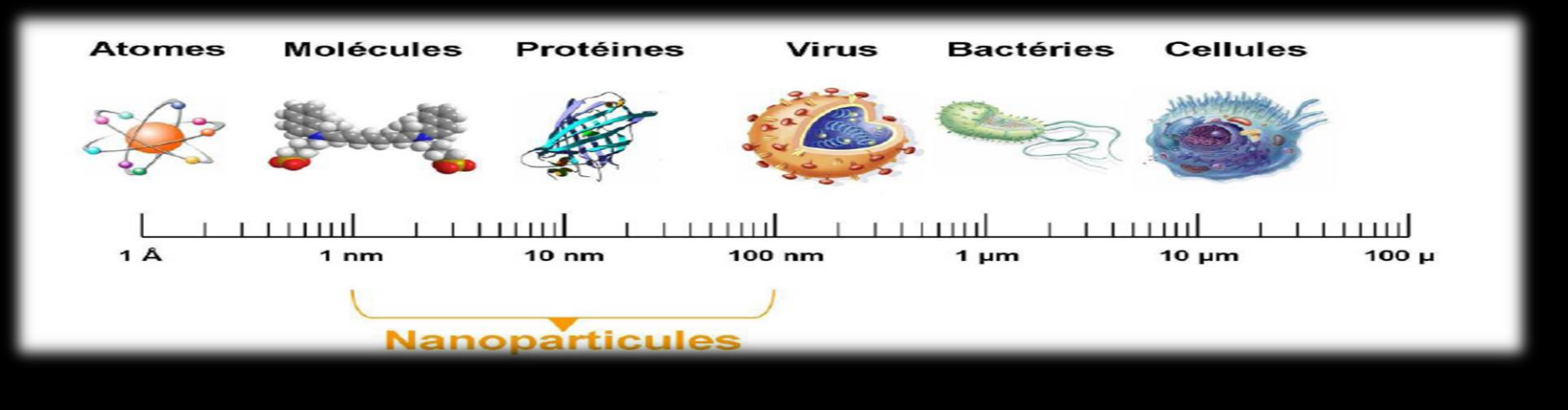
PLAN DE L'EXPOSÉ

- > Introduction
- >Suspensions des nanoparticules.
- > Applications du Numérique dans les écoulements des Nanofluides
- **➤** Conception du code:
 - ✓ Discrétisation
 - Les algorithmes utilisés
 - ✓ Validation
- **Conclusion**

> Introduction

- * Nanosciences, nanotechnologies
- * très petite échelle
- * les lois classiques de la physique

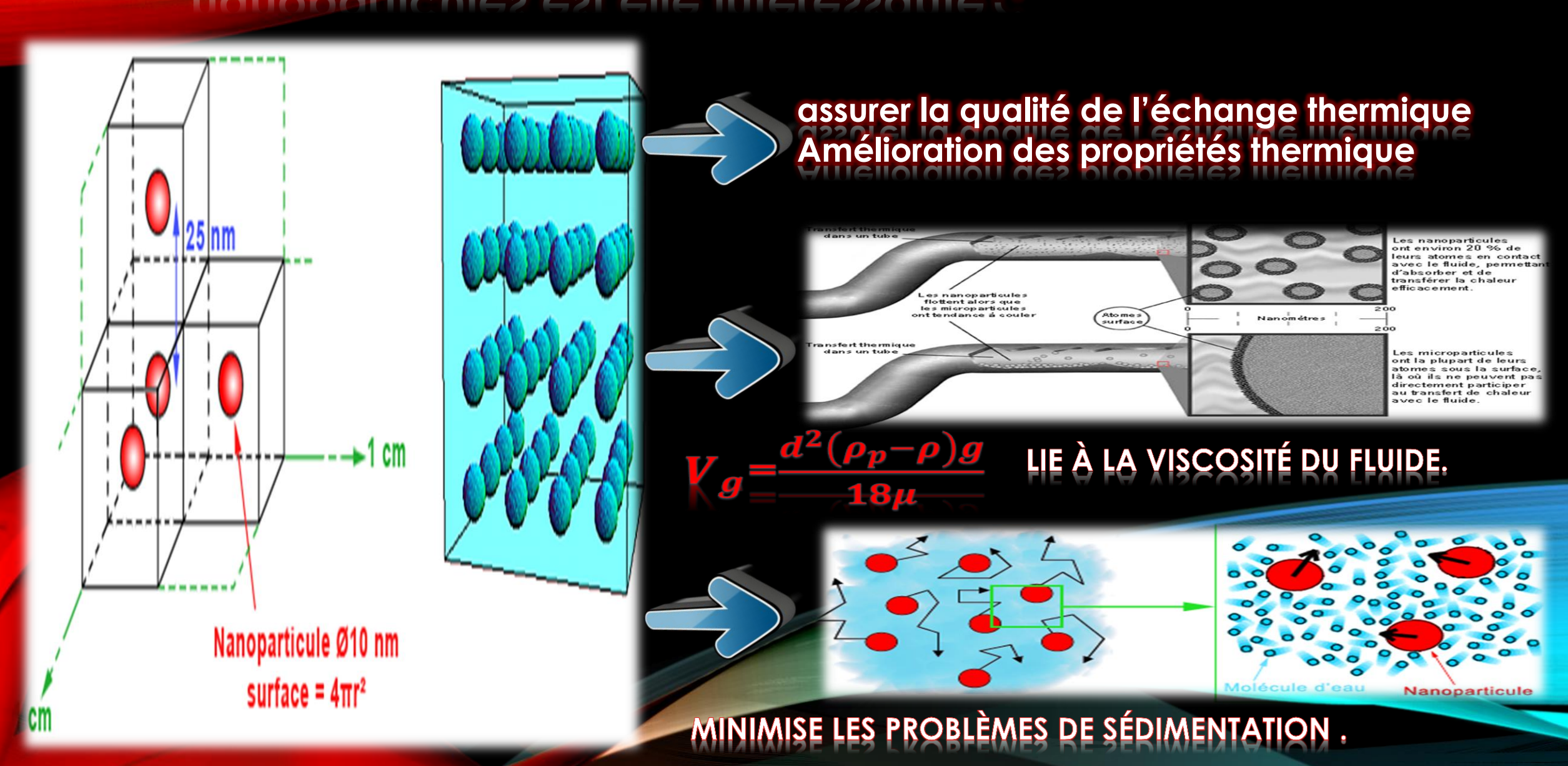




Ecoulement de Nanofluide, Numérique?



Pourquoi la réduction de taille des nanoparticules est elle intéressante?:



Systèmes d'écoulement rotatif de type











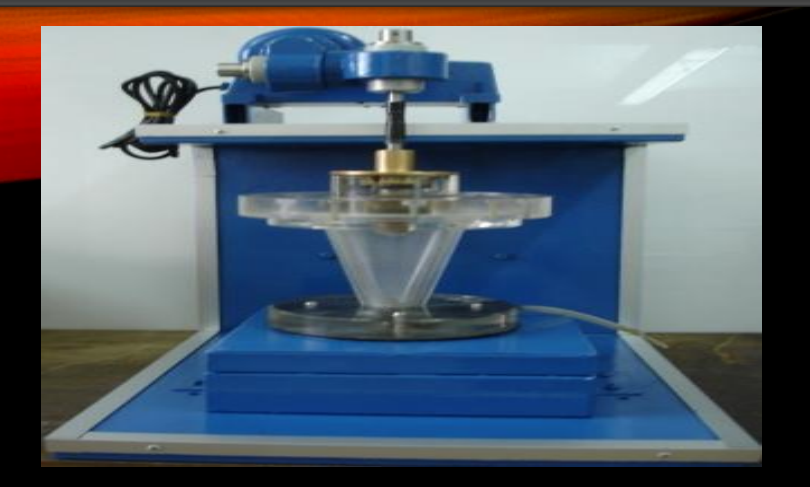
Mise en évidence des phénomènes de transition. Applications à la tribologie, lubrification, séparation de masse...





Thermodynamique constructale







- Applications à la séparation de masse et aux écoulements océanographiques (Instabilité d'Ekman)
- > Système d'écoulement sphérique coaxial

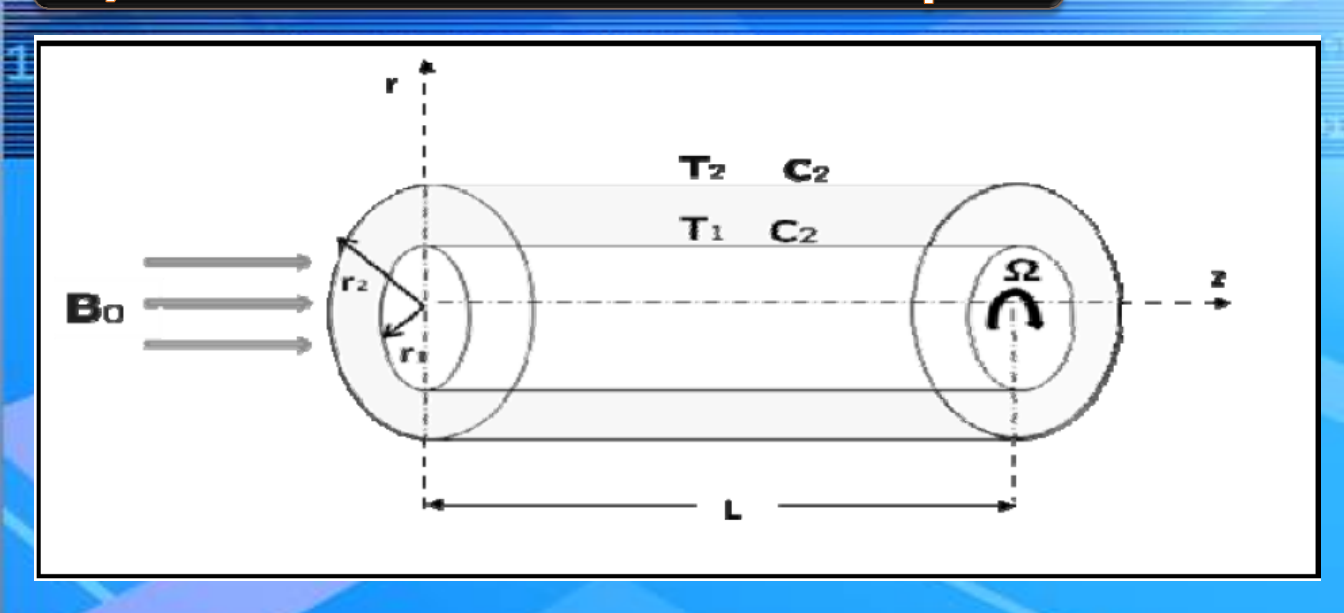


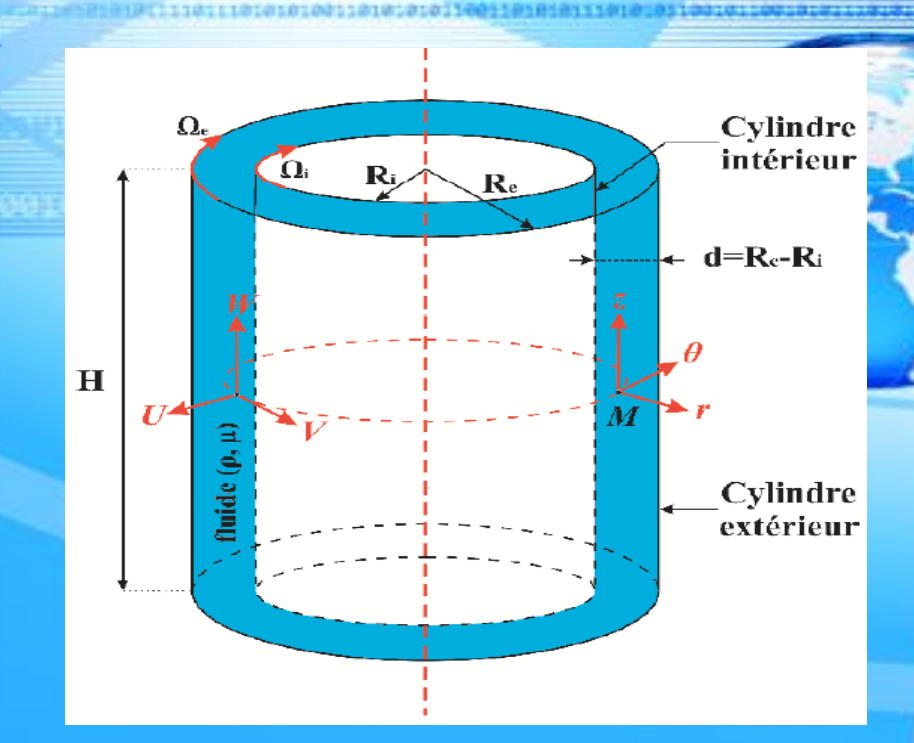


Applications à la mise en évidence des écoulements géophysiques (formation de cyclones et instabilités en dynamiques des étoiles)



I/Modélisation Mathématique





Hypothèses simplificatrices

Conditions aux limites

> Equation de conservation de la masse

$$\frac{1}{r^*} \frac{\partial}{\partial r^*} (r^* u^*) + \frac{1}{r^*} \frac{\partial w^*}{\partial r^*} + \frac{\partial v^*}{\partial r^*} = 0$$



> Equation de conservation de la quantité de mouvement: radiale

$$\frac{\partial u^*}{\partial t^*} + \frac{1}{r^*} \frac{\partial}{\partial r^*} (r^* u^* u^*) + \frac{1}{r^*} \frac{\partial}{\partial \theta} (w^* u^*) + \frac{\partial}{\partial z^*} (v^* u^*) - \frac{w^{*2}}{r^*} = -\frac{\partial P^*}{\partial r^*} + \frac{Gr_0^*}{Re_0^2} \cos\theta T^* + \frac{Gr_0$$

$$\frac{1}{\operatorname{Re}_{0}} \left[\frac{\partial}{\partial r^{*}} \left(\frac{1}{r^{*}} \frac{\partial (r^{*}u^{*})}{\partial r^{*}} \right) + \frac{1}{r^{*2}} \frac{\partial}{\partial \theta} \left(\frac{\partial u^{*}}{\partial \theta} \right) - \frac{2}{r^{*2}} \frac{\partial w^{*}}{\partial \theta} + \frac{\partial}{\partial z^{*}} \left(\frac{\partial u^{*}}{\partial z^{*}} \right) \right]$$

> Equation de conservation de la quantité de mouvement: angulaire

$$\frac{\partial w^*}{\partial t^*} + \frac{1}{r^*} \frac{\partial}{\partial r^*} (r^* u^* w^*) + \frac{1}{r^*} \frac{\partial}{\partial \theta} (w^* w^*) + \frac{\partial}{\partial z^*} (v^* w^*) + \frac{u^* w^*}{r^*} = -\frac{1}{r^*} \frac{\partial P^*}{\partial \theta} - \frac{Gr_0^*}{Re_0^2} \sin \theta \ T^* + \frac{1}{r^*} \frac{\partial W^*}{\partial \theta} + \frac{1}{r^*} \frac$$

$$\frac{1}{\text{Re}_{0}} \left[\frac{\partial}{\partial r^{*}} \left(\frac{1}{r^{*}} \frac{\partial (r^{*}w^{*})}{\partial r^{*}} + \frac{1}{r^{*2}} \frac{\partial}{\partial \theta} \left(\frac{\partial w^{*}}{\partial \theta} \right) + \frac{2}{r^{*2}} \left(\frac{\partial u^{*}}{\partial \theta} \right) + \frac{\partial}{\partial z^{*}} \left(\frac{\partial w^{*}}{\partial z^{*}} \right) \right]$$



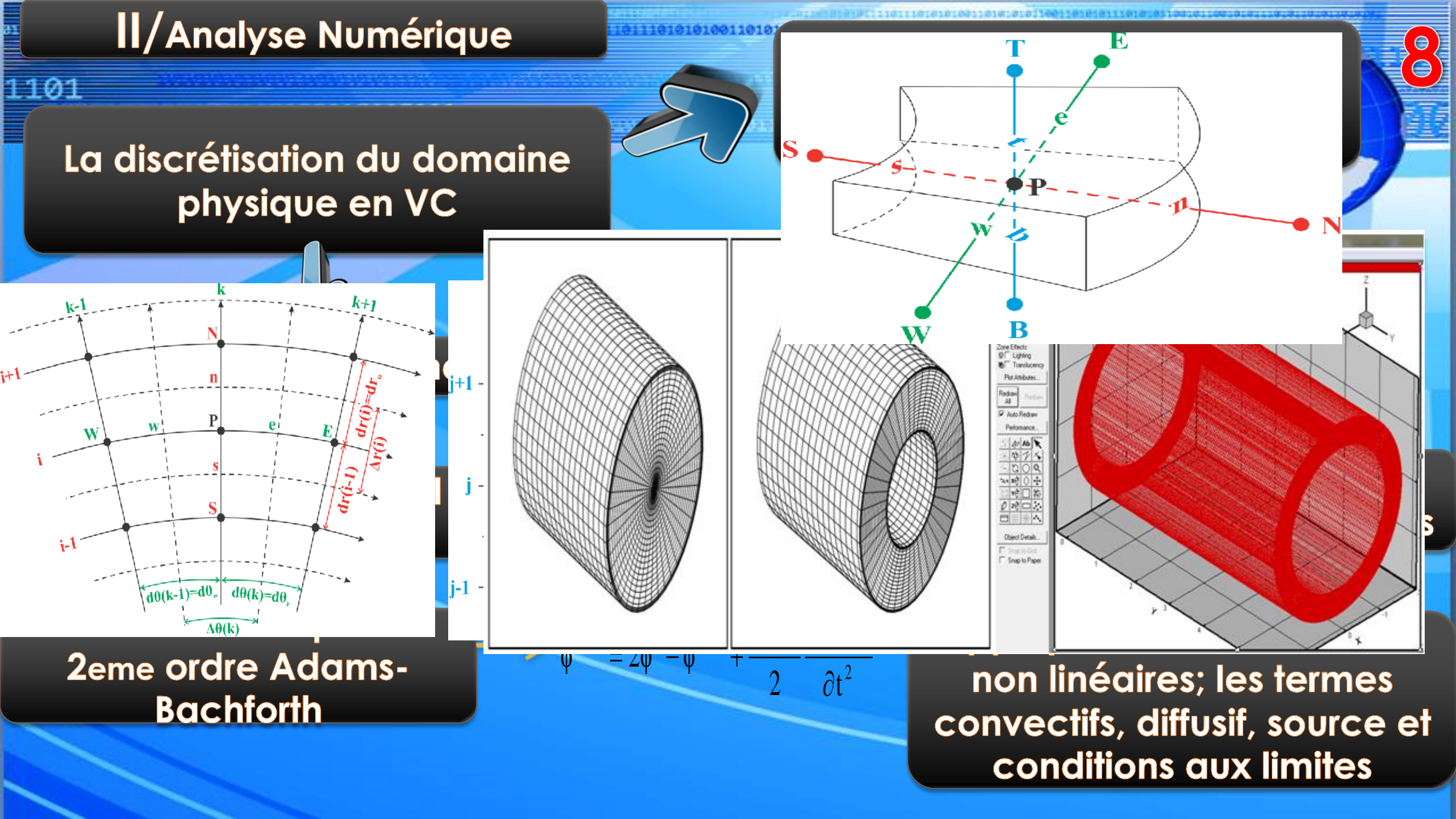
0110101

> Equation de conservation de la quantité de mouvement: axiale

$$\frac{\partial v^*}{\partial r^*} + \frac{1}{r^*} \frac{\partial}{\partial r^*} (r^* u^* v^*) + \frac{1}{r^*} \frac{\partial}{\partial \theta} (w^* v^*) + \frac{\partial}{\partial z^*} (v^* v^*) = -\frac{\partial P^*}{\partial z^*} + \frac{1}{\text{Re}_0} \left[\frac{1}{r^*} \frac{\partial}{\partial r^*} (r^* \frac{\partial v^*}{\partial r^*}) + \frac{1}{r^{*2}} \frac{\partial}{\partial \theta} (\frac{\partial v^*}{\partial \theta}) + \frac{\partial}{\partial z^*} (\frac{\partial v^*}{\partial z^*}) \right]$$

Equation de conservation de l'énergie

$$\frac{\partial T^*}{\partial t^*} + \frac{1}{r^*} \frac{\partial}{\partial r^*} (r^* u^* T^*) + \frac{1}{r^*} \frac{\partial}{\partial \theta} (w^* T^*) + \frac{\partial}{\partial z^*} (v^* T^*) = \frac{1}{\text{Re}_0 \text{Pr}_0} \left[\frac{1}{r^*} \frac{\partial}{\partial r^*} (r^* \frac{\partial T^*}{\partial r^*}) + \frac{1}{r^{*2}} \frac{\partial}{\partial \theta} (\frac{\partial T^*}{\partial \theta}) + \frac{\partial}{\partial z^*} (\frac{\partial T^*}{\partial z^*}) \right]$$



Algorithmes de THOMAS

Les algorithmes de calcul Algorithmes de

Algorithmes SIMPLER et

DEBUT

Etape1

Résolution des équations discrétisées de la quantité de mouvement

u*.v*.w*

Hypothèses initiales $\Phi^* = p^*, u^*, v^*, w^*$

CIAADIE

THOMAS Cyclique

Forme générale :

 $A_n(i, j, k)\phi_{i,i,k} = A_N(i, j, k)\phi_{i+1,j,k} + A_S(i, j, k)\phi_{i-1,j,k} +$

$$A_{p}(i,j,k)\phi_{i,j,k} = A_{N}(i,j,k)\phi_{i+1,j,k} + A_{S}(i,j,k)\phi_{i-1,j,k} +$$

$$A_{T}(i,j,k)\phi_{i,j+1,k} + A_{B}(i,j,k)\phi_{i,j-1,k} +$$

$$A_{E}(i,j,k)\phi_{i,j,k+1} + A_{W}(i,j,k)\phi_{i,j,k-1} + S_{\phi}(i,j,k)$$

$$a_i = A_p(i, j, k)$$

Forme générale

$$c_i = A_s(i, j, k)$$

$$d_i = A_T(i,j,k)\phi_{i,j+1,k} + A_B(i,j,k)\phi_{i,j-1,k} + A_E(i,j,k)\phi_{i,j,k+1} + A_W(i,j,k)\phi_{i,j,k+1} + S_{\phi}\left(i,j,k\right)$$

Introduction de la relation de récurrence
$$\phi_i = p_i \phi_{i+1} + \phi_i$$
 $\phi_{i-1} = p_{i-1} \phi_i + \phi_{i-1}$

On déduit deux nouvelles relations
$$p_i = \frac{B_i}{A_i - C_i p_{i-1}} et Q_i = \frac{D_i + C_i Q_{i-1}}{A_i - C_i p_{i-1}}$$

Avec cette relation on peut calculer toutes les composantes P_i et Qi afin de balayé tout l'azimutale

 $A_{T}(i,j,k)\phi_{i,j+1,k} + A_{B}(i,j,k)\phi_{i,j-1,k} +$ $A_{E}(i,j,k)\phi_{i,i,k+1} + A_{W}(i,j,k)\phi_{i,i,k-1} + S_{\phi}(i,j,k)$ $a_i = A_p(i, j, k)$ On Equation indicielle : $a_i \phi_i = b_i \phi_{i+1} + c_i \phi_{i-1} + d_i$ $b_i = A_N(i, j, k)$ $c_i = A_s(i, j, k)$ $d_{i} = A_{T}(i, j, k)\phi_{i, j+l, k} + A_{B}(i, j, k)\phi_{i, j-l, k} + A_{E}(i, j, k)\phi_{i, j, k+l} + A_{W}(i, j, k)\phi_{i, j, k+l} + S_{\phi}(i, j, k)$

de récurrence (nouvelle forme) $a_k \phi_k = b_k \phi_{kdd} + c_k \phi_{kd} + d_k \quad k = 1,2,\dots,KL$

Etape 2 fixe: Résolution de l'équation de correction de la p*=p pression (à partir de l'équation de continuité) ս*=ս $w^*=w$ Etape 3 Correction des pressions et de la vitesse $\Phi = \mathbf{p}, \mathbf{u}, \mathbf{v}, \mathbf{w},$ Convergence OUI **Processus** FIN itératif

Avec cette relation on peut calculer toutes les composantes P_i et Qi

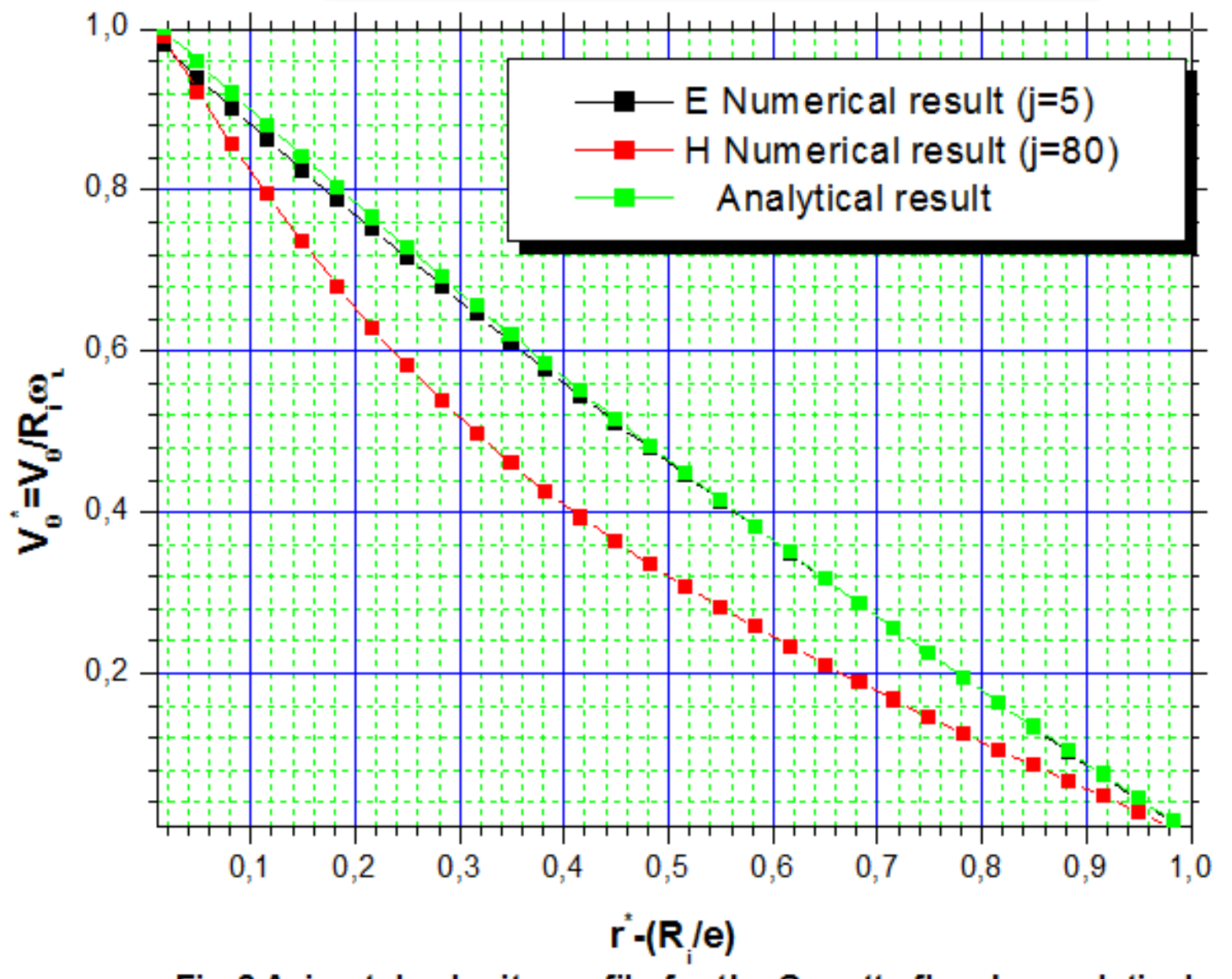
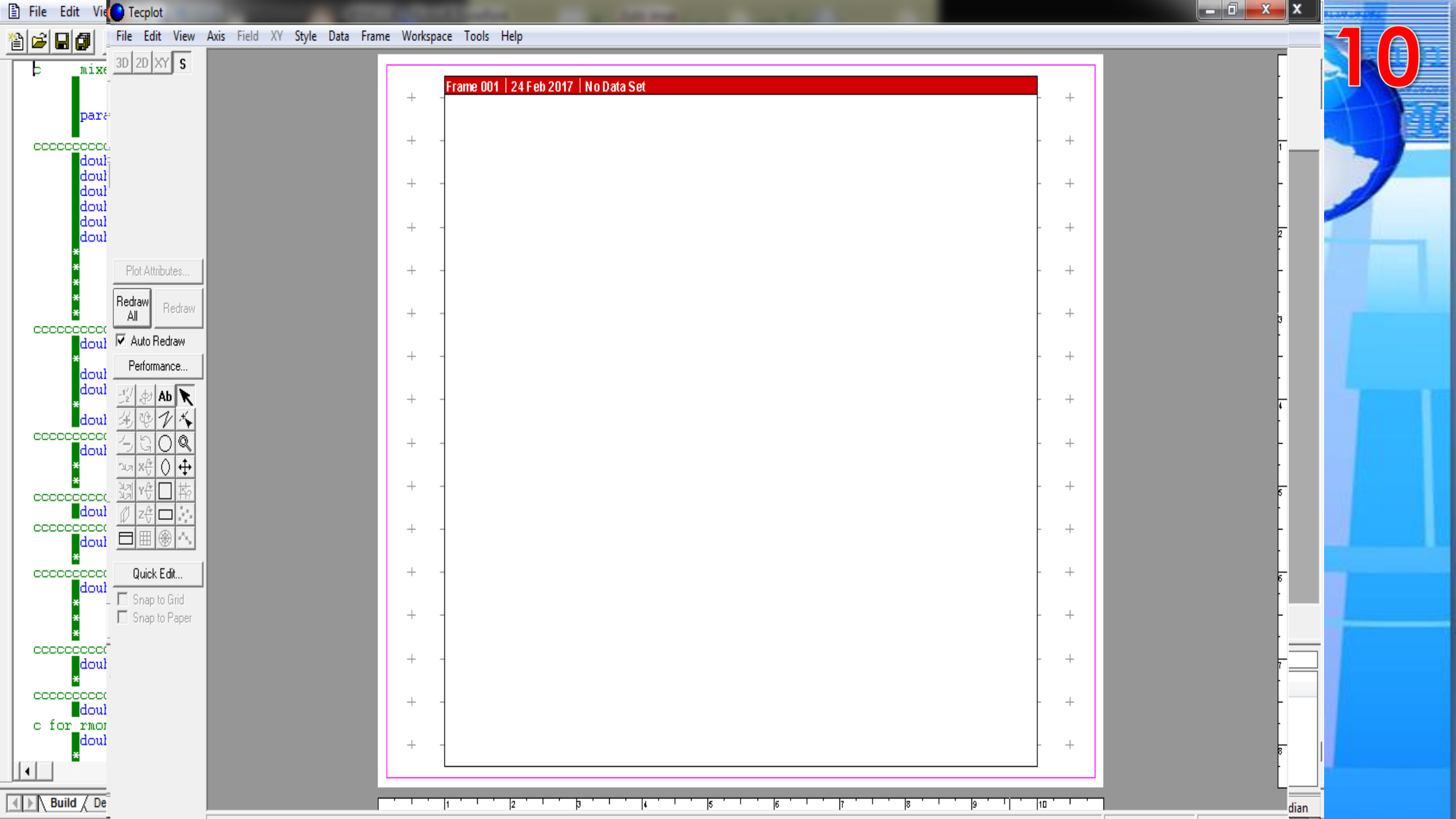
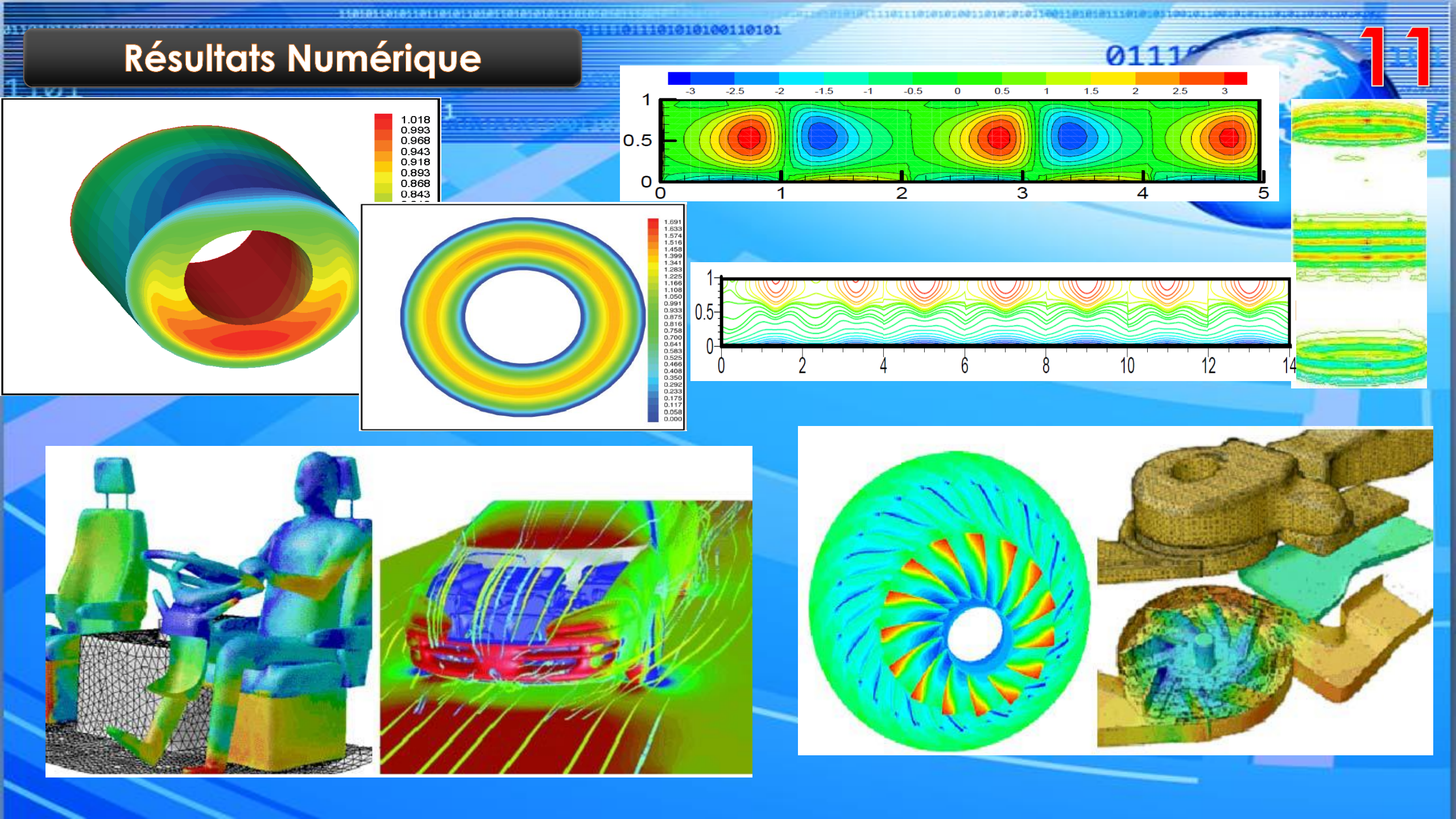


Fig.2 Azimutal velocity profile for the Couette flow by analytical and numerical methods by Re_i=56.254, R_i=2.669 and Γ=23.35





Conclusion

- * Nanofluide est un fluide homogène de meilleurs propriétés thermiques.
- *Discrétisation du 2ème ordre donne de meilleurs résultats.
- * Ubuntu exécution par réseau (entre les pays), gain de temps, plusieurs calculs en même temps pour la même vitesse d'un cas.
- *Il faut toujours avoir un regard critique vis-à-vis du résultat obtenu.

